

Bulletin of Scientific Contribution GEOLOGY

Fakultas Teknik Geologi UNIVERSITAS PADJADJARAN

homepage: http://jurnal.unpad.ac.id/bsc p-ISSN: 1693-4873; e-ISSN: 2541-514X



Volume 19, No.2 Agustus 2021

ANALISA DAERAH POTENSI PANAS BUMI SONGA-WAYAUA, BACAN, MALUKU UTARA BERDASARKAN DATA GEOLOGI DAN GEOKIMIA

Damar Nandiwardhana¹, Allen Haryanto Lukmana¹, Prihadi Sumintadireja², Asep Saepuloh²

¹Program Studi Teknik Perminyakan, Fakultas Teknologi Mineral, UPN Veteran Yogyakarta Jl. Ring Road Utara No.104, Ngropoh, Condongcatur, Kec. Depok, Kabupaten Sleman, DIY, 55283
² Program Studi Teknik Geologi, Fakultas Ilmu dan Teknologi Kebumian, Institut Teknologi Bandung Jl. Ganesha No. 10, Bandung, Indonesia Email:dnandiwardhana@upnyk.ac.id

ABSTRAK

Kajian geologi dan geokimia merupakan kajian awal yang dilakukan pada suatu lapangan panas bumi yang bertujuan untuk mengetahui gambaran awal potensi panas bumi lapangan tersebut. Dari kajian geologi dan geokimia ini dilakukan untuk mengetahui gambaran kondisi geologi (geomorfologi, vulkanostratigrafi, dan struktur) dan geoindikator (soil, pH, isotop, dan temperatur) lapangan. Pada penelitian ini dilakukan kajian geologi dan geokimia, untuk mengetahui potensi awal prospek panas bumi pada daerah Songa - Wayaua, Bacan, Maluku Utara. Pada daerah Songa - Wayaua, Bacan, Maluku Utara diindikasikan terdapat adanya potensi panas bumi, hal ini ditunjukan dengan adanya kemunculan manifestasi di permukaan berupa fumarol, mata air panas, kolam lumpur, tanah beruap, dan batuan ubahan (alterasi), yang terdapat di sekitar Desa Songa dan Desa Wayaua. Kemunculan manifestasi berada pada lingkungan vulkanik (sekitar G. Pele dan G. Lansa). Berdasarkan hasil analisis data geologi struktur sesar yang berkembang di daerah penelitian memiliki arah dominan berarahkan baratlaut - tenggara dan timurlaut - baratdaya. Morfologi daerah penelitian terdiri dari perbukitan, kerucut vulkanik dan dataran aluvial. Geologi daerah penelitian terdiri dari produk gunung api berumur kuarter - tersier dari G. Songa, G. Pele, G. Lansa, dan G. Bibinoi kemudian satuan batugamping, satuan batuan granit tawa, dan satuan batuan metamorf yang berumur tersier. Berdasarkan hasil analisis data geokimia bahwa tipe air manifestasi didominasi oleh air klorida, temperatur antara 30° C - 98° C, pH 3 - 8 dan perkiraan temperatur reservoir 240 ° - 250 ° C (entalpi tinggi).

Kata kunci: Geologi, Geokimia, Songa - Wayaua

ABSTRACT

Geological and geochemical studies are initial studies conducted on a geothermal field which aims to determine the initial description of the geothermal potential of the field. This geological and geochemical study was conducted to describe the geological conditions (geomorphology, volcanostratigraphy, and structure) and geoindicators (soil, pH, isotopes, and temperature) of the field. In this study, geological and geochemical studies were carried out, to determine the initial potential of geothermal prospects in the Songa - Wayaua area, Bacan, North Maluku. In the area of Songa - Wayaua, Bacan, North Maluku, it is indicated that there is geothermal potential, this is indicated by the appearance of manifestations on the surface in the form of fumaroles, hot springs, mud pools, steamy soil, and altered rocks, which are found around Songa Village and Wayaua Village. The appearance of the manifestation is in the volcanic environment (around Mount Pele and Mount Lansa). Based on the analysis of geological data, the fault structure that developed in the study area has a dominant direction of northwest southeast and northeast - southwest. The morphology of the research area consists of hills, volcanic cones and alluvial plains. The geology of the study area consists of quaternary tertiary volcanic products from G. Songa, G. Pele, G. Lansa, and G. Bibinoi then limestone units, granite laughter units, and metamorphic rock units with tertiary age. Based on the results of geochemical data analysis that the type of manifestation water is dominated by chloride water, the temperature is between 30 ° C - 98 ° C, pH 3 - 8 and the reservoir temperature is estimated at 240 ° - 250 ° C (high enthalpy).

Keywords: Geothermal System, Geology, Geochemistry, Songa - Wayaua

PENDAHULUAN

Sebagai negara berkembang Indonesia membutuhkan energi yang tidak sedikit menunjang kebutuhan dalam pembangunan disegala bidang. Salah satu kebutuhan yang paling vital pada negara berkembang seperti Indonesia adalah pasokan energi listrik dan bahan bakar. Di Indonesia, energi untuk listrik dan bahan bakar masih banyak bersumber dari minyak, gas dan batubara, yang mana sumbersumber energi tersebut merupakan sumber energi yang tidak terbarukan dan tidak ramah lingkungan. Maka dari itu dicarilah energi alternatif yang terbarukan, ramah lingkungan dan tidak bergantung pada sumber energi yang sudah ada, agar pembangunan di Indonesia terus berkembang dan berlanjut. alternatif tersebut yang telah ditemukan dan sedang dikembangkan saat ini salah satunya adalah energi panas bumi atau geothermal. Di Indonesia energi panas bumi merupakan energi yang memiliki prospek tinggi, hal ini dikarenakan dikarenakan Indonesia dilewati rangkaian gunung api yang disebut ring of fire yang terbentang dari pulau Sumatera bagian selatan sampai dengan Nusa Tenggara yang kemudian dilanjutkan ke Sulawesi. Seperti yang diketahui bahwa dari banyaknya rangkaian gunung api tersebut sangat berpotensi terbentuk sumber daya panas bumi.

Salah satu potensi panas bumi ini terletak di Indonesia bagian timur yaitu di daerah Songa - Wayaua, Bacan, Maluku Utara. Dimana untuk mengidentifikasi awal ada potensi bumi pada daerah ini dilakukannya kajian data-data geologi dan geokimia. Diharapkan dari hasil kajian dan geokimia ini didapatkan gambaran awal potensi panas bumi daerah penelitian yang berupa kondisi geologi (geomorfologi, vulkanostratigrafi, struktur) berdasarkan hasil kajian data geologi dan geoindikator (soil, pH, isotop, dan temperatur) berdasarkan hasil kajian data geokimia.

METODOLOGI

Pada penelitian ini yang pertama dilakukan adalah melakukan studi literatur dari penelitian terdahulu, kemudian dilakukan analisis data geologi dan geokimia untuk mendapatkan; struktur geologi dan morfologi permukaan dari penginderaan jauh (geologi), data karakteristik manifestasi temperatur, pH, dan debit (geokimia). Dimana data yang digunakan merupakan data yang telah ada dari penelitian terdahulu (Sumintadireja, P., dkk. 2012). Setelah dilakukan analisis data geologi dan geokimia tersebut kemudian dilanjutkan ke proses integrasi data untuk

menentukan prospek awal daerah panas bumi Songa-Wayaua, Bacan, Maluku Utara.

1. Geologi

Survei geologi dilakukan untuk mengetahui keadaan permukaan daerah penelitian, baik itu berupa formasi batuan, struktur, bentang alam, dan lain sebagainya. Dari survei geologi ini diharapkan dapat memetakan kondisi geologi lapangan panas bumi Songa - Wayaua, Bacan, berupa: geomorfologi, vulkanostratigrafi, dan struktur geologi berdasarkan peta geologi regional, data geologi penelitian sebelumnya, serta data hasil analisis citra ALOS PALSAR.

Secara garis besar pekerjaan penginderaan jauh pada daerah panas bumi Songa -Wayaua adalah menganalisis morfologi permukaan dan kelurusan menggunakan peta topografi dan citra ALOS PALSAR (orbit ascending dan descending) untuk menentukan struktur yang berkembang dan kaitannya dengan zona permeabilitas dan poros di daerah penelitian panas bumi Songa - Wayaua.

No	o Tanggal Or		Wakt	Path/
			u	Row
1	04	Asc	14:13:	396/7
	Februari		55 UT	17
	2011			
2	21 Juni	Desc	01:40:	66/36
	2010		44 UT	4

Tabel 1. Data ALOS PALSAR

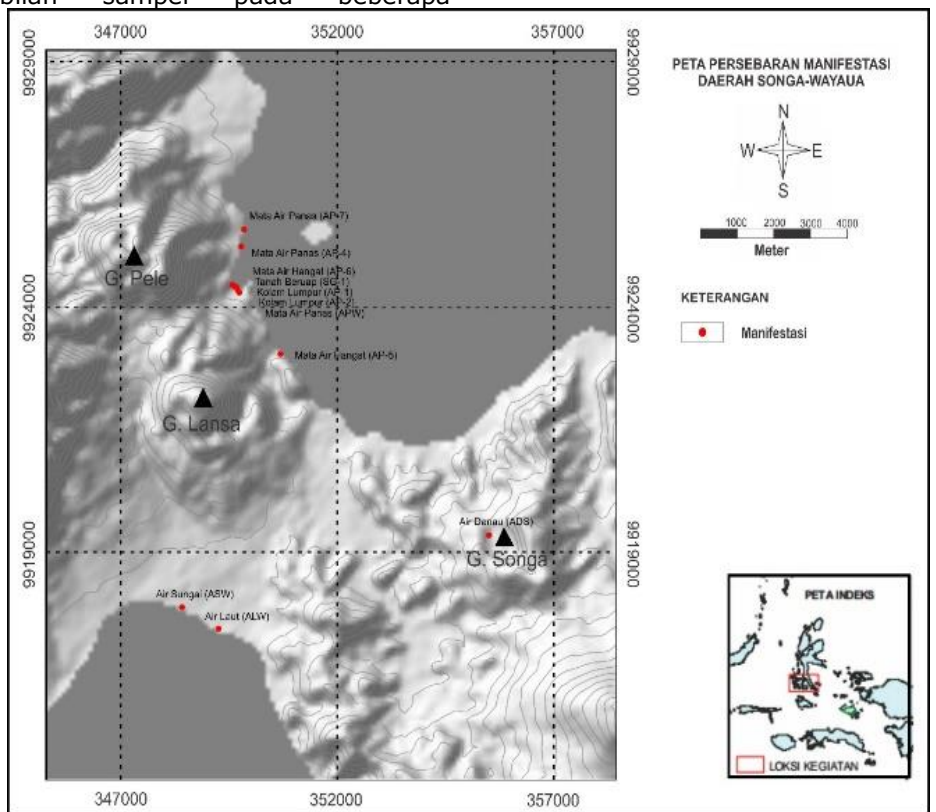
Untuk menginterpretasi kelurusan diperlukan dua citra yaitu citra dengan orbit ascending dan descending hal ini dikarenakan penggunaan arah satelit yang berbeda diperlukan untuk menghindari efek bayangan dalam citra. Orbit ascending (menuju utara) merupakan satelit yang mengamati dari arah barat (melihat dari kanan) dan orbit descending (menuju selatan) merupakan satelit yang mengamati dari arah timur (melihat dari arah kiri).

Analisis kelurusan pada citra ALOS PALSAR dilakukan secara manual dengan menggunakan dua citra ALOS PALSAR orbit ascending dan descending. Kelurusan ditarik secara manual bersesuai dengan linearitas dari linearitas pegunungan, lembah, dan sungai. Kelurusan orbit ascending dan descending kemudian digabungkan menjadi satu peta untuk mengetahui seluruh fitur linier yang terdeteksi serta untuk kelurusan utama menentukan struktur geologi.

2. Geokimia

Komposisi kimia beberapa mata air panas dapat memberikan informasi tentang kemungkinan bentuk alur hidrologi, dan memberikan pola, data, jenis manifestasi dan karakteristik kimiawi fluida panas bumi yang diperlukan untuk merefleksikan derajat percampuran antara air dingin permukaan dengan air panas yang berasal dari reservoir panas bumi (Wohletz & G. Heiken, 1992). Pada survei geokimia ini dilakukan pengambilan sampel pada beberapa

manifestasi dan tanah yang kemudian dianalisis sehingga didapatkan geoindikator lapangan panas Songa - Wayaua, Bacan. Studi geokimia daerah panas bumi Songa - Wayaua, Bacan, Maluku Utara berdasarkan data dari 8 buah manifestasi.



Gambar 1. Peta persebaran manifestasi daerah Songa - Wayaua, Bacan

2.1 Manifestasi mata air hangat

Tabel 2. Karakteristik manifestasi mata air hangat

Tabel 2: Ratakteristik mannestasi mata an hangat				
No		1	2	
Lokasi		Pele - Pele	Pele - Pele	
Kod	le	AP-5	AP-6	
Jenis Man	ifestasi	Mata air hangat	Mata air hangat	
Koordinat	X	350645	349659	
(UTM)	Y	9923128	9924507	
Temperatur	Udara	33,1	34,0	
(°C)	Manifestasi	44,6	42,3	
p⊦		6,75	6,48	
ORP (mV)	34,5	102,9	
Q (L	/s)	0,08	0,16	
		Dimensi 0.3 x 0.3 m, mata	Dimensi 0.4 x 1 m, mata	
Karakteristik Manifestasi		air, air jernih, tidak tercium	air, air jernih, tidak tercium	
		bau belerang.	bau belerang.	

2.2 Manifestasi mata air panas

Tabel 3. Karakteristik manifestasi mata air panas

No		1	2	3
Lok	asi	Pele - Pele	Pele - Pele	Pele - Pele
Ko	de	AP-1	AP-2	AP-3
Jenis Ma	nifestasi	Kolam Lumpur	Kolam Lumpur	Mata Air Panas
Koordinat	X	349775	349731	349705
(UTM)	Y	9224375	9924457	9924482

N	0	1	2	3
Temperatur	Udara	34.4	36.0	34.2
(°C)	Manifestasi	89.6	98.6	96.4
pl	Н	3.12	5.13	6.29
K (m	Ev)	237.8	129.6	65
Q (L	./s)	Tidak dapat	Tidak dapat	4.9
		dihitung	dihitung	
Karakteristik	Manifestasi	Dimensi 1.5 x 2 m, kolam Lumpur, lumpur panas, air keruh, tercium sedikit bau belerang, tanah	Dimensi 0.16 x 0.16 m, kolam lumpur, lumpur panas, air keruh, tercium sedikit bau belerang, tanah	Dimensi 0.25 x 1 m, mata ait, air jernih, tidak tercium bau belerang, endapan
		sekitarnya hangat, sinter silika.	sekitarnya hangat, sinter silika.	garam.

N	0	4	5	6
Lokasi		Pele - Pele	Pado - Pado	Wayaua
Ko	de	AP-4	AP-7	APW
Jenis Ma	nifestasi	Mata Air Panas	Mata Air Panas	Mata Air Panas
Koordinat	X	349829	349885	350995
(UTM)	Y	9925286	9925632	9014916
Temperatur	Udara	32.6	32.1	33.1
(°C)	Manifestasi	98.8	82.5	62.4
pl	Н	5.86	6.49	6.09
K (m	Ev)	92.8	49.5	91
Q (L	./s)	Tidak dapat dihitung	Tidak dapat dihitung	-
Karakteristik Manifestasi		Dimensi 0.5 x 1 m, mata air, air jernih, tidak tercium bau belerang, endapan garam.	Manifestasi keluar dari dalam dalam pasir, tidak berbau, jernih.	Dimensi 50 x 10 m, tidak berbau, gelembung gas, jernih.

2.3 Manifestasi kolam lumpur dan tanah beruap **Tabel 4.** Karakteristik manifestasi kolam lumpur dan tanah beruap

No		1	2	
Lokasi		Pele - Pele	Pele - Pele	
Kode		SG-1	SG-2	
Jenis Mai	nifestasi	Mata air panas/ Lumpur	Tanah beruap	
Koordinat	X	349718	349591	
(UTM)	Y	9924462	9924334	
Temperatur	Udara	33,1	34,0	
(°C)	Manifestasi	98,6	86,0	
pl	Н	5,13	6,76	
ORP ((mV)	129,6	-	
Karakteristik Manifestasi		Dimensi 0.3 x 0.5 m, kolam lumpur, lumpur panas, air keruh, tanah sekitarnya hangat, asap berwarna putih, endapan travertin	Dimensi 5 x 10 m, tanah beruap, tanah kemerahan, asap berwarna putih.	

2.4 Air Dingin

Tabel 5. Karakteristik air dingin

i di			
No		1	2
Lokas	si	Pele - Pele	Songa
Kode	е	ALP	ADS
Jenis	S	Air laut	Air danau
Koordinat	X	349647	354992
(UTM)	Υ	9924518	9919487
	Udara	34,0	27,6

Temperatur	Manifest	40,3	31,5
(°C)	asi	6,33	7,63
ORP (m	iEv)	54,1	42,7
Karaktei Manifes		Air jernih.	Diameter danau ± 800 meter, air jernih.

No		3	4
Lokasi		Wayaua	Wayaua
Kode	9	ASW	ALW
Jenis	5	Air sungai	Air laut
Koordinat	X	348594	349355
(UTM)	Y	9918042	9917613
Temperatur	Udara	28,4	32.1
(°C)	Manifest	29,4	34.3
	asi		
pН		7,94	8.01
ORP (mEv)		15,9	98
Karakteristik		<u>+</u> 100 meter dari	Pinggir pantai, sampel adalah air
Manifes	tasi	pantai, air jernih.	laut, jernih.

Hasil dan Pembahasan

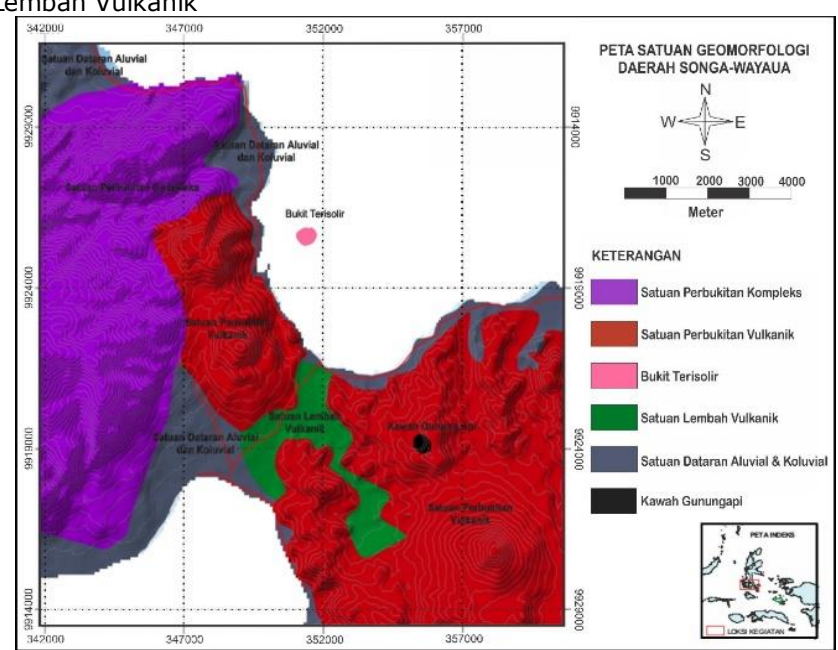
- 1. Geologi
- 1.1 Geomorfologi

Berdasarkan hasil analisis citra ALOS PALSAR serta survei sebelumnya, geomorfologi pada lapangan penelitian Songa - Wayaua, Bacan, terdiri dari 5 satuan, berupa:

- Satuan Perbukitan Kompleks Berdasarkan hasil observasi lapangan, batuan yang berada dalam satuan ini adalah batuan metamorf.
- Satuan Perbukitan Vulkanik Berdasarkan hasil observasi lapangan batuan yang berada dalam satuan ini adalah batuan beku basaltik dan piroklastik.
- Satuan Lembah Vulkanik

Berdasarkan hasil observasi lapangan batuan yang berada dalam satuan ini adalah batuan piroklastik, batulempung dan *unconsolidated* conglomerate.

- Bukit Terisolir
- Diperkirakan Pulau Gamjaha merupakan hasil intrusi dari sumber yang sama dengan dapur magma Bukit Lansa.
- Satuan Dataran Aluvial dan Koluvial Secara garis besar, satuan ini diperlihatkan oleh bentuk kontur yang renggang - sangat renggang. Hal ini mencerminkan bahwa satuan ini disusun oleh batuan dengan litologi yang tidak kompak, lepas-lepas dan tingkat erosi tinggi.



Gambar 2. Peta satuan morfologi (modifikasi Sumintadireja dkk, 2012)

1.2 Vulkanostratigrafi

Vulkanostratigrafi pada lapangan penelitian panas bumi Bacan, Songa terdiri dari 16 satuan dari umur muda ke tua, sebagai berikut:

Satuan Endapan Aluvial (Al)

Satuan ini tersusun atas material lepas, terdiri dari komponen polimik, berukuran kerikil sampai bongkah, terdiri dari aneka batuan seperti batugamping, andesit, basalt, sekis, serpentin, konglomerat dan breksi, menyudut - membundar.

Satuan Endapan Koluvial (Qkw)

Satuan ini tersusun atas material lepas, terdiri dari komponen polimik, berukuran bongkah, terdiri dari aneka batuan seperti batugamping, andesit, basalt, sekis, serpentin, konglomerat dan breksi, menyudut-membundar.

Satuan Endapan Maar Gunung Songa (Qms)

Komposisi penyusun satuan ini adalah material-material dengan jenis batuan beku. Satuan ini menempati 1 % daerah penelitian.

• Satuan Lava Gunung Songa (Qls)

Satuan ini merupakan hasil erupsi parasit dari pusat erupsi Gunung Bibinoi yang membentuk dan Danau Maar, merupakan produk dari erupsi phreatic. Erupsi phreatic terjadi bila magma yang naik bersentuhan dengan air tanah (ground water) atau air permukaan. Suhu ekstrim dari magma 600 - 1.170° C menyebabkan evaporasi uap secara instan menghasilkan ledakan uap, air, abu, batuan dan fragmen batuan, namun inklusi lava tidak umum. Temperatur fragmen batuan dapat berkisar dari dingin hingga membara. Bila ada material magmatik membara yang terbawa saat terjadi erupsi disebut freato-magmatik. Erupsi ini kadang membentuk kawah yang lebar dengan relief rendah disebut sebagai "maar".

- Satuan Lava Gunung Bibinoi (Qlb) Basalt, hitam, afanitik, vesikuler, ekigranular, mineralogi plagioklas. Secara megaskopis, satuan ini di deskripsikan sebagai basalt, hitam, afanitik, vesikuler, ekigranular, mineralogi plagioklas.
- Satuan Jatuhan Piroklastik Gunung Pele (Qjp)

Satuan ini adalah batuan piroklastik berlapis baik, bersifat andesitis dengan komposisi mineral plagioklas, K-feldspar, kuarsa, bergradasi kasar-halus ke arah atas (graded bedding), relatif urai (loose), kadang ditemukan struktur silang siur dan lapilli terakresi. Satuan ini tampak menutupi satuan andesit Lansa (QII). Satuan ini menempati 1 % daerah penelitian.

• Satuan Lava Gunung Pele (Qlp)

Satuan Lava Gunung Pele bersama dengan Satuan Lava Gunung Lansa muncul pada kelurusan (*lineament*) berarah NNW - SSE. Secara megaskopis satuan ini dideskripsikan sebagai andesit, putih keabuan, anhedralsubhedral, inekigranular, porfiritik, dengan mineralogi piroksen, plagioklas, hornblenda, kuarsa, K-felspar.

Satuan Lava Gunung Lansa (QII)

Litologi penyusunnya didominasi andesit. Di beberapa tempat ditemukan trakoandesit, namun batuan tersebut telah mengalami proses ubahan (alterasi). Satuan ini menempati 3 % daerah penelitian. Beradasarkan penampang, ketebalan satuan ini sekitar 260 meter. Secara megaskopis satuan ini dideskripsikan sebagai andesit, keabuan, anhedral-subhedral, inekigranular, porfiritik, mineralogi piroksen, plagioklas, hornblenda, kuarsa, K-felspar. Trakoandesit, merah kecoklatan, subhedral, inekigranular, afanitik, mineralogi piroksen, hornblenda, K-felspar, plagioklas, kuarsa.

Satuan Aliran Piroklastik Gunung Bibinoi (Qab)

Satuan ini adalah piroklastik aliran hasil erupsi Gunung Bibinoi. Berdasarkan pengamatan lapangan, singkapan ini terdiri atas bongkah-bongkah besar dan kecil yang bercampur dalam matriks kerikil dan abu bersifat kacaan, tidak ada gradasi, terpilah buruk, terkompaksi. Komponen-komponen dari aliran piroklastik ini di punggungan bukit yang berada di selatan sungai besar di Desa Bibinoi. Berdasarkan analisis petrografi, fragmen batuan ini berkomposisi andesitbasaltis, kompak, agak lapuk, keabuan, afanitik, euhedral, ekigranular, dengan mineralogi utamanya plagioklas dan Satuan aliran piroklastik piroksen. menempati 2 % daerah penelitian.

Satuan Jatuhan Piroklastik Gunung Bibinoi (Qjb)

Litologi penyusun satuan ini adalah batuan piroklastik. Kenampakan di lapangan terlihat batuan campuran yang mungkin merupakan hasil dari aliran lahar panas Gunung Songa. Singkapan terbaik berada di jalan utama dari desa Songa menuju desa Bibinoi, di selatan dan utara jalan, dengan komponen singkapan berisi fragmen-fragmen batuan beku, konglomerat, breksi dan batugamping berada didalam masa dasar pasir lepas, berdimensi panjang 20 meter x tinggi 20 meter. Satuan ini menempati 4% daerah penelitian dengan ketebalan berdasarkan penampang sekitar 30 m.

- Satuan Lava Gunung Bibinoi Tua (Qlbt)
 Basalt, hitam, afanitik, vesikuler, ekigranular, mineralogi plagioklas.
- Satuan Lava Gamjaha (Qvg)

Pulau lava Gamjaha yang terisolir diperkirakan merupakan hasil ekstrusif dari sumber yang sama dengan dapur magma Lansa. Analisis citra Landsat memberikan interpretasi sisa-sisa crater tua yang relatif kecil. Singkapan yang ada menunjukkan adanya breksi vulkanik kelabu kemerahan yang berkomponen andesit amfibol dengan massadasar tufa yang agak kompak. Komponen andesitik sebagian berongga, berukuran 2 - 20 cm. Tufa di beberapa tempat merupakan sisipan. Satuan ini menempati 1 % daerah penelitian.

• Satuan Batugamping (Qgt)

Litologi penyusun satuan ini adalah batugamping terumbu. Secara megaskopis batugamping ini dideskripsikan sebagai batugamping berwarna putih-krem, kemas tertutup, sorting sedang-buruk, semen kalsit, matriks karbonatan, pack to grainstone, porositas vuggy.

• Satuan Granit Tawa (Tmgt)

Satuan granit tawa berada pada sebelah utara dari Bukit Sibela berupa retas yang menerobos satuan metamorfik (Km) yang melalui jalur lemah sesar mendatar Tawa. Di berapa tempat dijumpai mineral molybdenit dan pirit. Retas granitik demikian yang

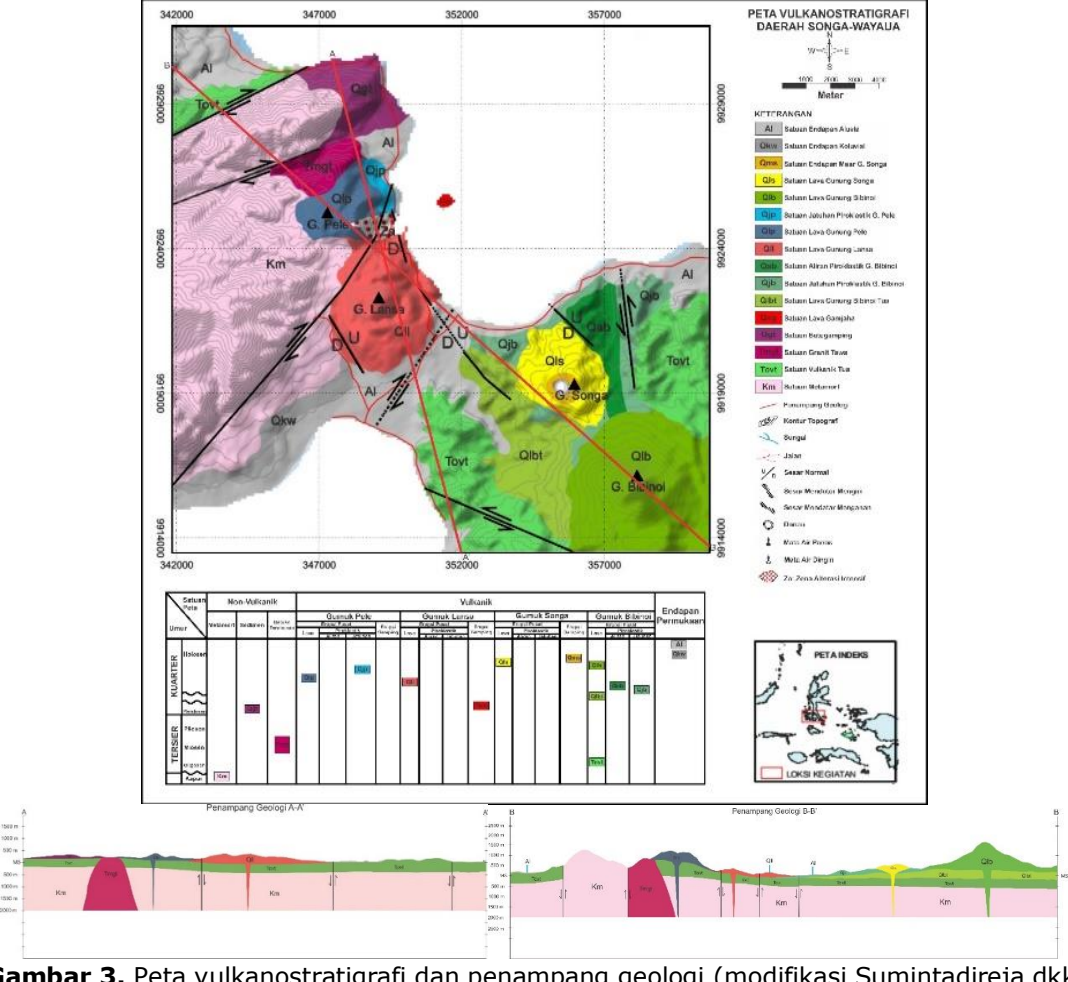
mungkin menyebabkan terjadinya mineralisai pada satuan metamorfik disini. Litologi pada satuan ini adalah granit dan berwarna merah pada peta vulkanostratigrafi.

Satuan Vulkanik Tua (Tovt)

Litologi penyusunnya adalah basalt. Merupakan batuan dasar pada daerah penyebaran pusat erupsi Gunung Bibinoi. Basalt, kehijauan, afanitik, euhedralsubhedral, ekigranular, sebagian mineral teralterasi menjadi klorit, mineralogi plagioklas. Satuan ini merupakan hasil erupsi dari Gunung Jare.

Satuan Metamorf (Km)

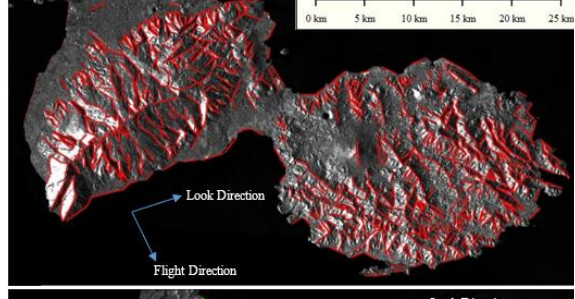
Satuan metamorf merupakan batuan tertua di daerah penelitian, dengan dominasi batuan serpentin pada bagian utara dari Satuan metamorf dan sekis pada bagian selatannya. Merupakan batuan dasar pada daerah pusat penyebaran erupsi Bukit Lansa. Serpentinit, berwarna hijau kehitaman, berstruktur lamelar, terdiri atas mineral serpentin, dan mineral mafik, terdapat kekar-kekar dan di sebagian tempat terdapat urat kalsit. Sekis, berwarna abu-abu kehitaman, schistose, lepidoblastik, terdiri atas mineral mika (muskovit dan biotit).

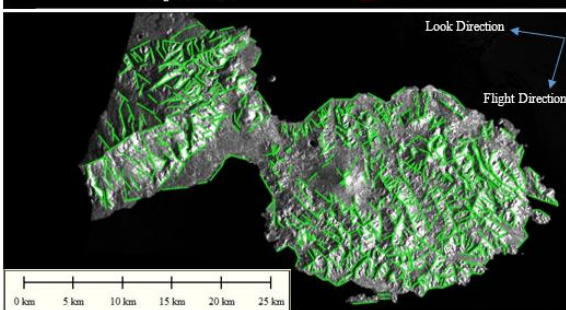


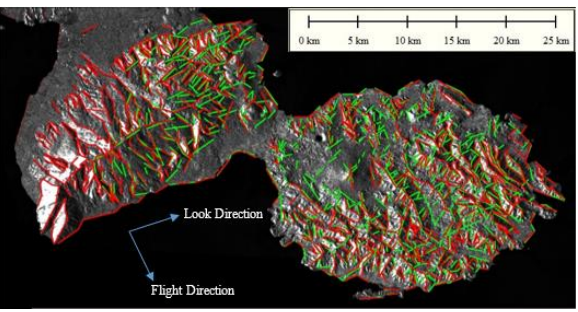
Gambar 3. Peta vulkanostratigrafi dan penampang geologi (modifikasi Sumintadireja dkk, 2012)

1.3 Citra ALOS PALSAR

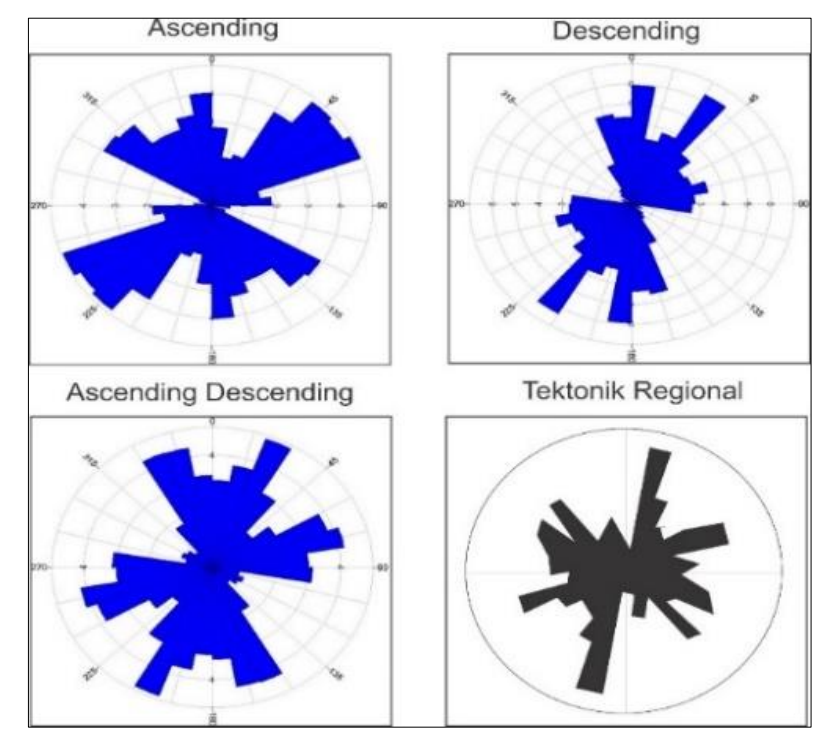
1.3.1 Analisa permukaan







Gambar 3. Kelurusan pada citra ALOS PALSAR orbit ascending (merah) dan descending (hijau) yang telah digabung pada citra ALOS PALSAR mode ascending Dari hasil penarikan kelurusan dari citra ALOS **PALSAR** descendina ascendina dan bahwa terdapat dua arah didapatkan kelurusan yang umum pada lokasi penelitian, yaitu timurlaut - baratdaya dan baratlaut tenggara, hal ini juga dibuktikan dari pengeplotan pada diagram roset dari data kelurusan tersebut yang menunjukan arah yang sama. Arah kelurusan ini kemudian divalidasi dengan arah tektonik regional daerah penelitian yang menunjukan arah yang sama timurlaut - baratdaya dan baratlaut - tenggara.



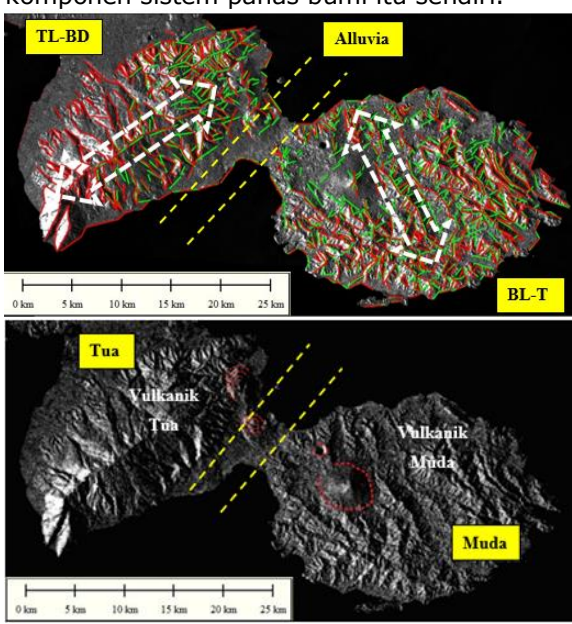
Gambar 4. Diagram roset hasil analisis kelurusan dari citra ALOS PALSAR

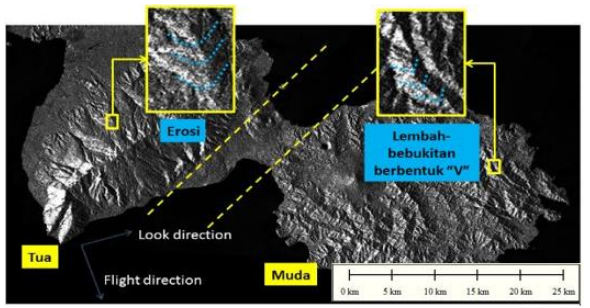
Kelurusan - kelurusan tersebut dikelompokan menjadi dua grup berdasarkan pola orientasi umumnya. Pola pertama adalah timurlaut baratdaya di bagian utara pulau dan kedua adalah baratdaya - tenggara di bagian selatan pulau. Diantara dua pola ini dipisahkan oleh daerah yang memiliki pola kelurusan jarang dan diintepetasikan sebagai dataran (Plain).

Morfologi umum daerah penelitian berupa kerucut vulkanik dimana disebelah tenggara daerah penelitian terdapat kerucut vulkanik yang bentuknya masih sempurna, diperkirakan merupakan bagian dari vulkanik muda dan disebelah baratlaut terdapat kelompok kerucut vulkanik yang bentuknya sudah tidak sempurna, diperkirakan

merupakan bagian dari vulkanik tua pada daerah penelitian.

Dari hasil analisis proses erosi permukaan oleh citra ALOS PALSAR didapatkan bahwa telah terjadi erosi yang intensif pada daerah penelitian sebelah baratlaut - barat dilihat dari morfologi yang berbentuk "U" di permukaan dan terjadi erosi yang sewajarnya pada daerah penelitian sebelah tenggara timur dilihat dari morfologi yang berbentuk "V" (Gambar 5). Nilai erosi yang intensif, diperkirakan sebagai akibat dari susunan formasi yang lebih tua, sedangkan daerah tenggara timur dapat diinterpretasikan sebagai formasi yang lebih muda, sehingga dapat dikatakan bahwa formasi batuan disebelah baratlaut - barat daerah penelitian memiliki umur yang lebih tua dibandingan dengan formasi batuan disebelah tenggara - timur daerah penelitian. Umur formasi batuan ini juga dibuktikan dengan adanya kenampakan gunungapi yang masih berbentuk kerucut sempurna disebelah selatan - tenggara yang diperkirakan memiliki umur lebih muda dibandingkan bentuk gunungapi disebelah utara - baratlaut yang sudah berbentuk kawah hancur (crater) dengan perkiraan umur yang lebih tua. Informasi umur formasi batuan relatif ini berguna untuk membantu dalam memperkirakan kemungkinan sudah terbentuk dengan sempurnanya atau belum komponen sistem panas bumi itu sendiri.



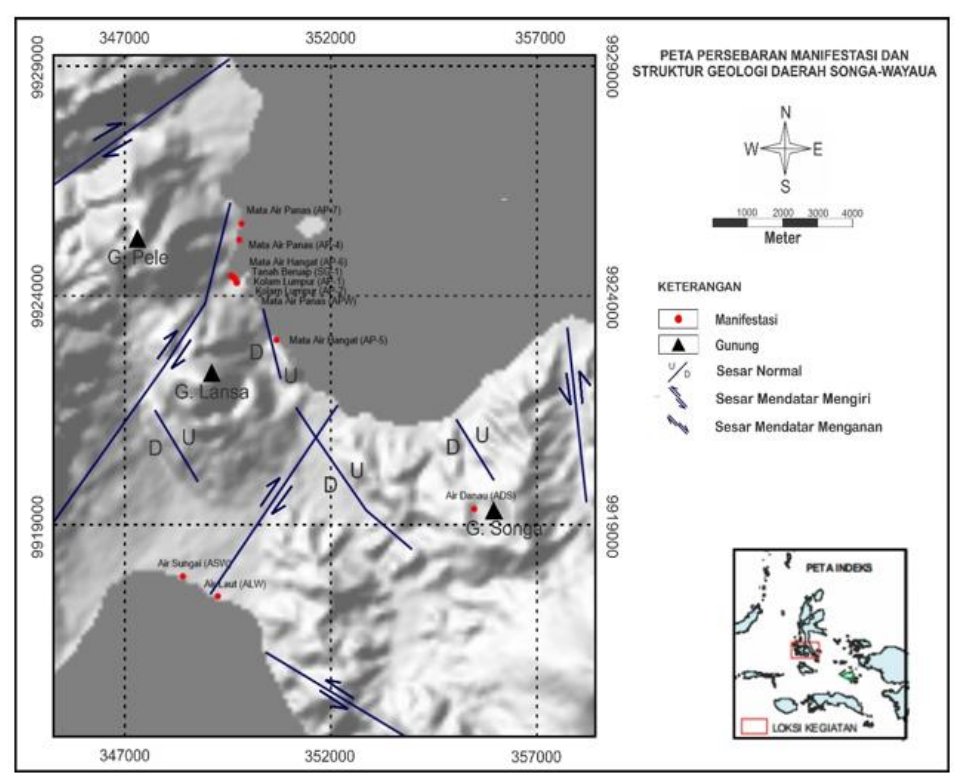


Gambar 5. Hasil analisa citra ALOS PALSAR 1.3.2 Struktur Geologi

Dari hasil analisis kelurusan pada citra ALOS PALSAR, didapatkan 10 struktur utama yang berada di daerah penelitian Songa - Wayaua, Bacan (Gambar 6), yaitu:

- a. Kelompok sesar mendatar menganan berarah timurlaut - baratdaya berada disebelah baratlaut lokasi penelitian (Sesar Baban 1 dan Sesar Babang 2).
- b. Sesar mendatar menganan berarah timurlaut baratdaya memanjang dari ujung baratdaya daerah penelitian sampai ke daerah air panas Pele Pele dan diperkirakan menerus sampai ke daerah Pado Pado yang berada di tengah lokasi daerah penelitian. Sesar tersebut menunjukkan blok utara relatif bergerak ke kanan terhadap blok selatan (Sesar Pele).
- c. Sesar normal berarah utara baratlaut selatan tenggara, memanjang dari Pele Pele ke selatan. Sesar ini berada di tengah dari lokasi daerah penelitian. Blok sebelah barat sesar ini relatif bergerak turun dibandingkan dengan blok sebelah timurnya (Sesar Songa 1).
- d. Sesar normal berarah baratlaut tenggara yang berada di tengah utara daerah penelitian diperkirakan merupakan kemenerusan dari sesar normal yang berasal dari Pele - Pele. Blok sebelah baratdaya sesar ini relatif bergerak turun dibandingkan dengan blok sebelah timurlaut (Sesar Songa 2).
- e. Kelompok sesar normal berarah baratlaut

 tenggara yang berada di tengah dan timur daerah penelitian. Blok sebelah baratdaya sesar ini relatif bergerak turun dibandingkan dengan blok sebelah timurlaut (Sesar Lansa dan Sesar Songa 3).
- f. Sesar mendatar menganan berarah timurlaut - baratdaya berada di tengah lokasi penelitian (Sesar Wayaua).
- g. Kelompok sesar mendatar mengiri berarah baratlaut - tenggara dan utara - selatan yang berada disebelah tenggara dan timur daerah penelitian (Sesar Bibinoi 1 & Sesar Bibinoi 2).

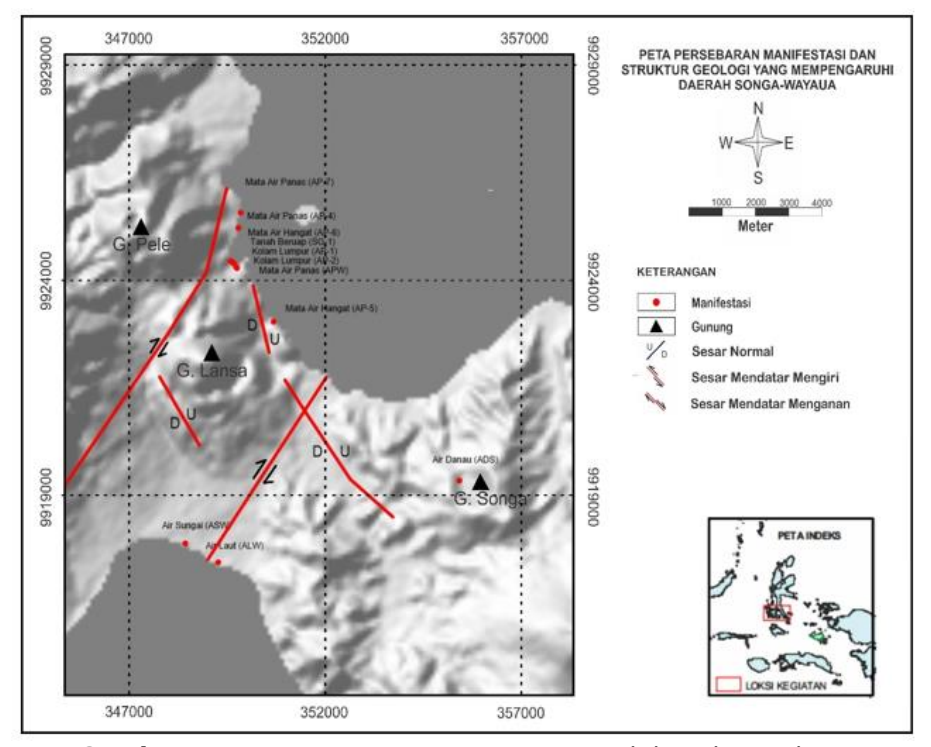


Gambar 6. Peta interpretasi kelurusan utama daerah penelitian

Struktur geologi di daerah Songa - Wayaua, Bacan dikontrol oleh tatanan tektonik yang disebabkan oleh sesar Perkembangan struktur di daerah penelitian sangat dipengaruhi oleh pergerakan miring sesar Sorong. Kompleks batuan metamorf di pulau Bacan yang merupakan basement dari pulau Bacan adalah bagian dari lempeng benua Australia yang terbawa oleh sesar Sorong dan deformasi kompleks ofiolit di diperkirakan disebabkan Bacan magmatisme di zona sesar, hal ini yang menyebabkan daerah penelitian terdapat pada zona sesar yang disebabkan sesar Sorong (Hall, 2000). Diperkirakan terdapat lima (5) sesar pengontrol sistem panas bumi di daerah Songa - Wayaua, Bacan (Gambar 7), yaitu:

- a. Sesar mendatar menganan berarah timurlaut baratdaya, memanjang dari ujung baratdaya daerah penelitian sampai ke daerah air panas Pele Pele dan diperkirakan menerus sampai ke daerah Pado Pado yang berada di tengah lokasi daerah penelitian. Sesar tersebut menunjukkan blok utara relatif bergerak ke kanan terhadap blok selatan (Sesar Pele).
- b. Sesar normal berarah utara baratlaut selatan tenggara, memanjang dari Pele -

- Pele ke selatan. Sesar ini berada di tengah dari lokasi daerah penelitian. Blok barat sesar ini relatif bergerak turun dibandingkan dengan blok timurnya (Sesar Songa 1).
- c. Sesar normal berarah baratlaut tenggara yang berada di tengah daerah penelitian diperkirakan merupakan kemenerusan dari sesar normal yang berasal dari Pele Pele. Perubahan arah disebabkan karena perbedaan densitas dari bidang lemah yang ada pada litologi di sekitarnya. Blok baratdaya sesar ini relatif bergerak turun dibandingkan dengan blok timurlaut (Sesar Songa 2)
- d. Sesar normal berarah baratlaut tenggara yang berada di tengah daerah penelitian (Tabajaya). Blok baratdaya sesar ini relatif bergerak turun dibandingkan dengan blok timurlaut (Sesar Lansa)
- e. Sesar mendatar menganan berarah timurlaut baratdaya yang berada di tengah daerah penelitian. Blok timurlaut peta relatif bergerak ke kanan dibanding blok baratdaya. Sesar ini diperkirakan yang mengontrol kemunculan manifestasi air dingin yang berada di pesisir pantai Desa Wayaua (Sesar Wayaua).

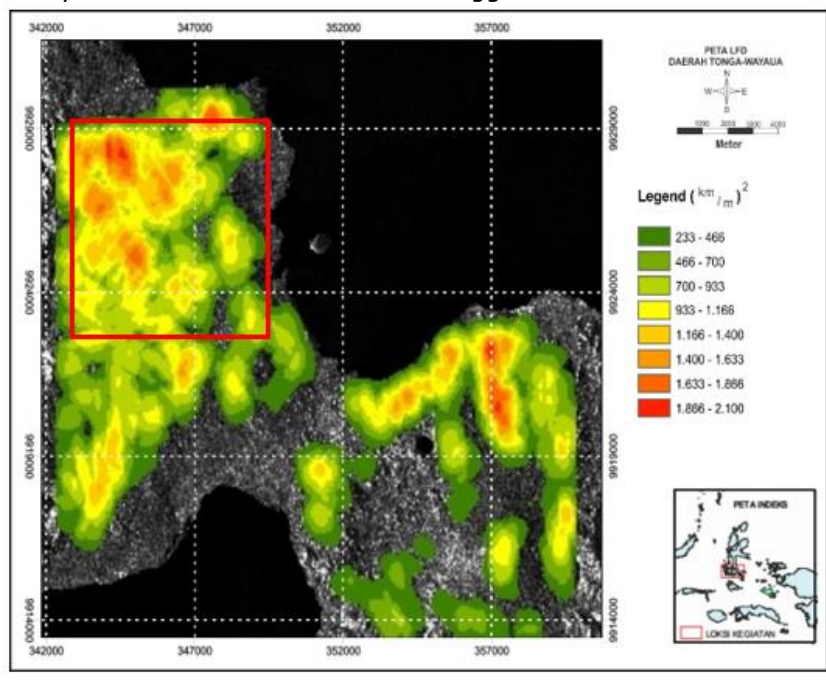


Gambar 7. Peta sesar utama yang mengotrol daerah penelitian

Kelima sesar di atas diperkirakan merupakan yang menyebabkan munculnya manifestasi air panas, air dingin, tanah panas, lumpur panas, sinter silika dan batuan ubahan di daerah penelitian, sehingga dapat dikatakan bahwa daerah sekitar sesar - sesar tersebut berada pada daerah yang memiliki permeabilitas tinggi. Sebagai permeabilitas tinggi, struktur sesar - sesar ini memiliki arti penting, hal ini dikarenakan dapat dijadikan prioritas bagi target pemboran nantinya.

1.3.3 LFD

Kelurusan yang telah diinterpertasi dikelompokan dalam suatu area berukuran 1x1 km. Setiap kelurusan yang terdapat dalam area dijumlahkan dan diplot di tengah area tersebut sehingga didapat suatu sebaran nilai densitas. Sebaran densitas tersebut dikontur hingga menghasilkan peta densitas kelurusan (LFD) yang dapat dihubungkan sebagai area dengan permeabilitas yang tinggi.

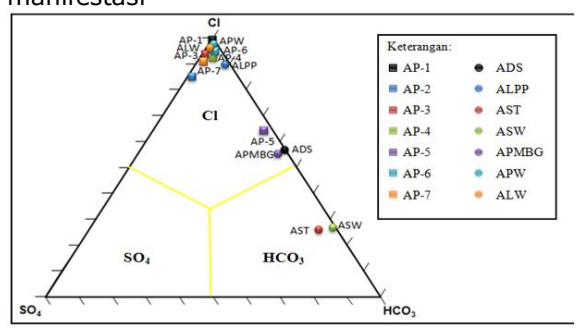


Gambar 8. Peta densitas kelurusan (LFD)

Warna merah pada peta di atas menunjukan densitas kelurusan yang tinggi, sedangkan warna hijau menunjukan densitas kelurusan yang rendah. Dari keterangan ini dapat di analisis bahwa terdapat anomali tinggi pada sebelah barat laut ditunjukkan dengan kotak merah dan disebelah timur daerah penelitian yang dapat diinterpretasi sebagai area dengan permeabilitas yang tinggi. Area permeabilitas yang tinggi pada suatu sistem geotermal memungkinkan sebagai daerah tangkapan air atau recharge area dan dapat juga berfungsi sebagai daerah luaran atau outflow.

2. Geokimia

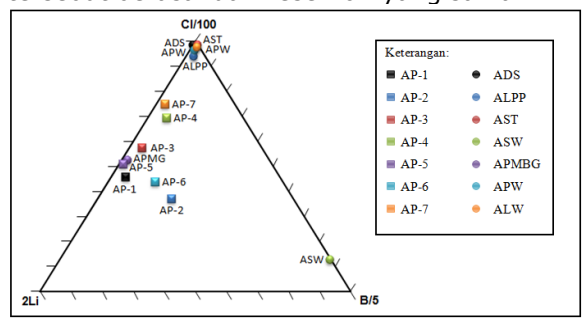
2.1 Proporsi Relatif CI-HCO3-SO4 dan Tipe Air Air klorida merupakan air yang paling dominan terbentuk pada suatu sistem panas bumi. Air ini mengandung Cl⁻ sebagai anion utamanya. Unsur terlarut lain adalah kation Na+, K+, dan Ca²⁺. Di sekitar mata air panas yang mengeluarkan air tipe ini umumnya terbentuk sinter silika. Hal ini disebabkan oleh fluida panas bumi yang jernih akan silika amorf. Mata air panas klorida dengan debit keluaran yang tinggi merupakan air yang paling baik digunakan untuk mengetahui kondisi reservoir. Tipe air merupakan tipe air klorida yang ditunjukkan oleh fluida dari manifestasi AP-1, AP-2, AP-3, AP-4, AP-6, AP-7, dan APW. Tipe air ini menunjukkan air reservoir yang dicirikan oleh pH mendekati netral, air jernih, dan keterdapatan endapan sinter silika di dekat manifestasi



Gambar 9. Diagram Cl-SO₄-HCO₃ (modifikasi Sumintadireja dkk, 2012)

Tipe air kedua adalah air klorida - bikarbonat yang ditunjukkan oleh fluida manifestasi AP-5 dan APMBG. Manifestasi ini merupakan mata air hangat dengan pH mendekati netral (6.23 - 6.75) dan berair jernih. Air klorida bikarbonat dapat terbentuk pencampuran antara air klorida dengan air tanah atau pencampuran air klorida dengan air bikarbonat. Untuk itu, data isotop dan geoindikator digunakan untuk mengkonfirmasi adanya proses pencampuran ini.

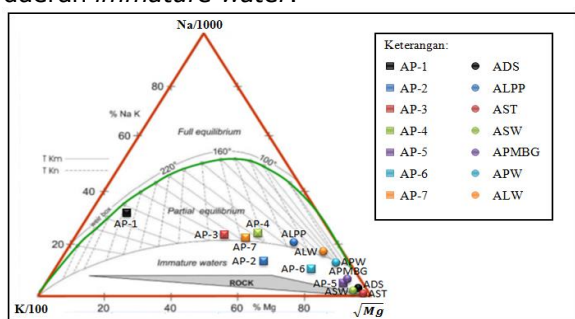
2.2 Proporsi Relatif Cl-Li-B dan Asal Reservoir Berdasarkan hasil *ploting* kandungan ketiga unsur tersebut pada diagram segitiga Cl-Li-B, fluida pada kelompok manifestasi daerah Songa - Wayaua menunjukkan nilai Cl yang tinggi. Pengelompokan komposisi Cl-Li-B dari manifestasi di daerah Songa - Wayaua menunjukkan bahwa fluida manifestasi tersebut berasal dari reservoir yang sama.



Gambar 10. Diagram Cl-Li-B (modifikasi Sumintadireja dkk, 2012)

2.3 Proporsi Relatif Na-K-Mg dan Kesetimbangan Fluida

Proporsi relatif Na-K-Mg pada fluida panas bumi dapat digunakan untuk mengenali fluida yang telah mencapai kesetimbangan dengan host litology-nya. Fluida dari manifestasi Pado - Pado dan Pele - Pele Pesisir berada di daerah partial equilibrium. Fluida dari manifestasi Pele - Pele Besar dan Wayaua berada di daerah immature water.



Gambar 11. Diagram Na-K-Mg (modifikasi Sumintadireja dkk, 2012)

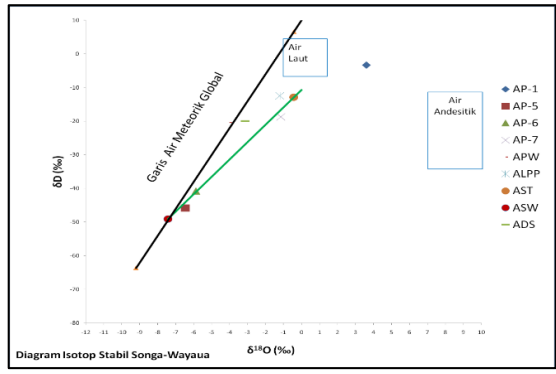
2.4 Isotop dan Asal Air

Apabila dikaitkan dengan hasil analisis geokimia air terjadi perbedaan analitis yaitu dengan tingginya kandungan Cl pada air panasnya yang terdapat di sekitar Pele - Pele dan Pado Pado. Pada kimia pencampuran dengan air laut diindikasikan oleh konsentrasi unsur terlarut (terutama Cl, Na, dan Ca) yang lebih tinggi dibandingkan konsentrasi unsur terlarut mengetahui lainnya. Untuk apakah kandungan Cl ini berasal dari magmatik atau air laut dapat diketahui melalui hasil analisis isotop stabil, dan hasilnya memana menunjukkan ada *mixing* dengan air laut dan kemungkinan besar sampel air panas di daerah ini dipengaruhi oleh adanya *influx air laut* dikarenakan lokasi manifestasi yang berada di dekat pantai. Berdasarkan hasil analisis isotop stabil Deuterium (δ D) dan Oksigen 18 (δ ¹⁸O) masing-masing air panas yang muncul di daerah penelitian mempunyai kisaran kandungan isotop stabil δ 18O antara -7,43 hingga 3,61 ‰ dan isotop stabil δ D antara -49,1 hingga -3,3 ‰ (0). Sedangkan hasil analisis isotop yang diambil pada air laut di Pantai Pele - Pele mengandung δ 18O sebesar -1,2 ‰ dan δ D sebesar -12,5 ‰ (0).

Tabel 6. Tabel kandungan isotop stabil δD dan δ 180

4411 0100				
Deuterium	Oxygen-18	Kode		
-3,3	3,61	AP-1		
-45,9	-6,46	AP-5		
-40,8	-5,88	AP-6		
-18,8	-1,14	AP-7		
-12,5	-1,2	ALPP		
-12,9	-0,43	AST		
-49,1	-7,43	ASW		
-20	-3,12	ADS		
-20,4	-4,01	APW		

Air meteorik lokal diambil dari air sungai Tawa dan air danau Songa yang mempunyai kandungan isotop stabil $\delta^{18}O$ dan δD yang sedikit bergeser kearah kanan dibanding air meteorik global. Hal ini terjadi karena banyaknya air panas yang keluar di sepanjang Pantai Pele - Pele sehingga terjadi pencampuran antara air laut dan air panas.



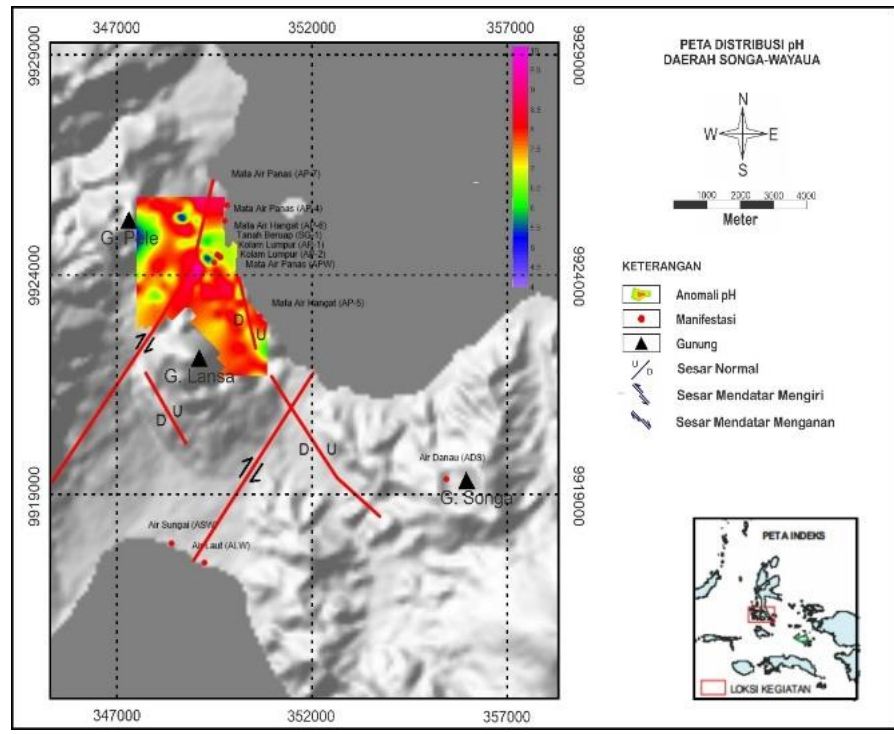
Gambar 12. Diagram isotop stabil δ^{18} O dan δ D (modifikasi Sumintadireja dkk, 2012)

Dari diagram isotop di atas didapatkan bahwa air panas di lokasi APW, AP5, AP6, dan AP7 mempunyai kandungan isotop stabil δ^{18} O dan δD yang menyerupai kandungan isotop stabil air meteorik. Hal ini mempunyai arti bahwa air panas di daerah penelitian berasal dari air meteorik. Dari data hasil pengeplotan ini juga diketahui bahwa manifestasi air panas AP-1 memiliki kandungan δD yang tinggi (-3,3 sehingga diduga **%**₀), ketika dalam perjalanannya ke permukaan air panas AP-1 ini mengalami pencampuran dengan air laut.

2.5 Hg dan Permeabilitas

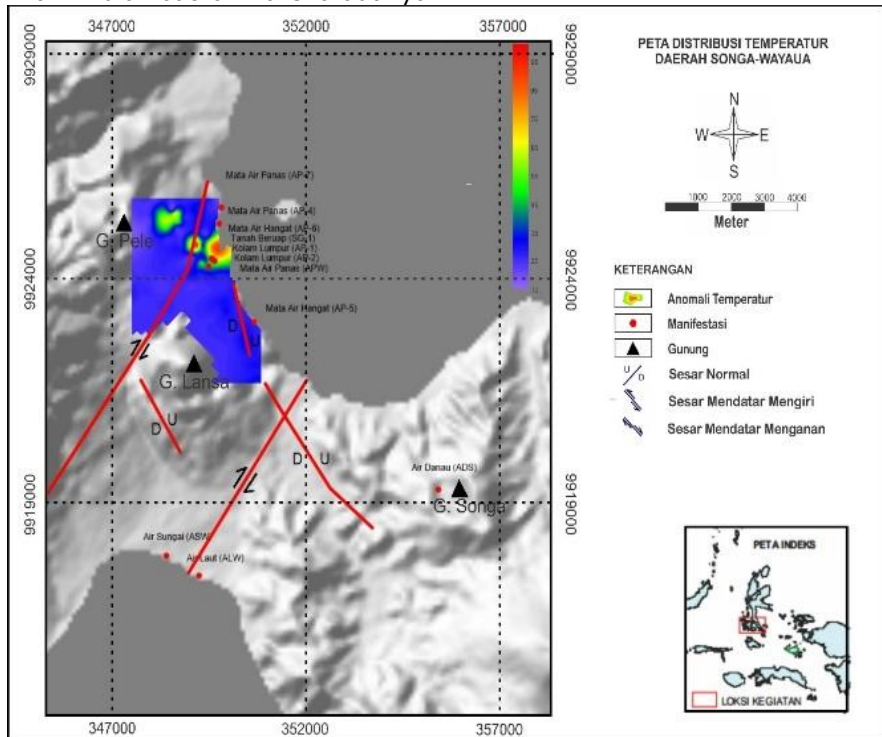
Dilakukan analisis kimia pada tanah / soil, dimana sampel soil ini dapat digunakan untuk mengidentifikasi daerah yang bersifat permeabel dari suatu lapangan panas bumi yang merupakan indikator kemungkinan zona upflow. Pengambilan sampel tanah / soil di daerah Songa - Wayaua direncanakan 145 titik namun sampel yang dapat diambil hanya sebanyak 137 buah.

Contoh Hg dalam tanah di daerah Songa - Wayaua dikonstentrasikan di daerah sekitar Gunung Pele dan Gunung Lansa. Total titik yang direncanakan sebanyak 147 titik. Kenyataan di lapangan tidak semua titik tersebut mengandung, atau memiliki horizon tanah yang tebal, oleh karena itu jumlah sampel yang diperoleh hanya sebanyak 137 buah. Dari 137 sampel tanah tersebut yang dapat dianalisis kandungan Hg dan pH laboratorium hanya 131 sampel.



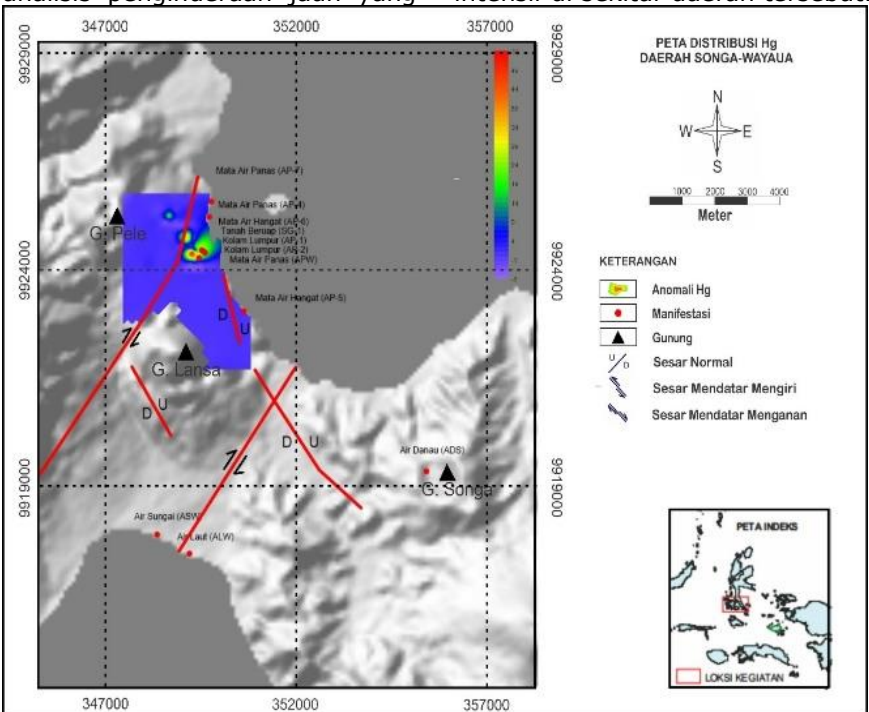
Gambar 13. Peta distribusi pH (modifikasi Sumintadireja dkk, 2012)

Dari hasil pengukuran di lapangan, temperatur di daerah penelitian berkisar antara 23 - 90° C. Dengan kisaran pH terukur 4.48 - 7.9. Tanah dengan pH rendah dan suhu yang tinggi menjadi anomali daerah penelitian. Hal ini diakibatkan karena adanya aktifitas panas bumi di permukaan dalam bentuk tanah panas maupun tanah hangat, terutama di daerah sekitar Gunung Pele dan Gunung Lansa.



Gambar 14. Peta distribusi Temperatur (modifikasi Sumintadireja dkk, 2012)

Hasil analisis laboratorium untuk unsur Hg (merkuri), menunjukkan kisaran antara < 0.01 hingga 54 ppm. Daerah dengan konsentrasi Hg terbanyak berada di sekitar Pele - Pele dan Bakor - Bakor. Sehinga dperkirakan daerah ini merupakan daerah dengan permeabilitas yang tinggi, didukung menunjukkan kelurusan - kelurusan yang pula oleh analisis penginderaan jauh yang intensif di sekitar daerah tersebut.



Gambar 15. Peta distribusi Hg (modifikasi Sumintadireja dkk, 2012)

Berdasarkan analisis peta distrbusi pH, temperatur dan Hg, didapatkan bahwa adanya daerah di sekitar Gunung Pele dan Gunung Langsa yang merupakan daerah dengan permeabilitas baik, hal ini dibuktikan dengan adanya anomali tinggi konsentrasi Hg tinggi diantara Gunung Pele dan Gunung Lansa dan dari analisis LFD sebelumnya, serta analisis kelurusan dengan penginderaan jauh. Pada daerah ini juga terdapat anomali suhu tinggi yang diperkirakan berasal manifetasi - manifestasi disekitar Gunung Pele dan Gunung Lansa. Manifestasi manifestasi di daerah ini memiliki derajat keasaman (Ph) berkisar 4.48 - 7.9 atau dapat dikatakan memiliki Ph relatif Berdasarkan anomali suhu tinggi, derajat keasaman yang relatif asam serta daerah yang memiliki permeabilitas baik pada daerah sekitar manifestasi ini dapat mengindikasikan bahwa daerah ini merupakan zona upflow dari sistem panas bumi Songa - Wayaua.

2.6 Geotermometer dan Temperatur Reservoir

Air panas yang paling baik digunakan untuk perhitungan geotermometer adalah tipe air klorida (CI), karena air klorida memiliki pH sekitar netral yang paling baik untuk menunjukkan kondisi reservoir. Dari keempat manifestasi air panas yang dianalisis, manifestasi air panas di Songa - Wayaua bertipe klorida.

Tabel 7. Hasil perhitungan geotermometer unsur terlarut

Geotermometer	Pele-	Pado-
	Pele	Pado
Kuarsa	145,164	146,095
Adiabatik (max		
steam loss)		
Kuarsa	152,206	153,158
Konduktif		
Na-K	238,254	227,788
(Fournier)		
Na-K	244,903	242,354
(Giggenbach)		

Pada lapangan panas bumi Songa - Wayaua digunakan geotermometer Na -(Giggenbach) yang menunjukan reservoir berkisar 240 - 245° C, hal ini suhu tersebut mendekati dikarenakan perkiraan suhu reservoir yang memiliki suhu sekitar 260° C dimana suhu tersebut didapatkan karena adanya endapan sinter silika disekitar manifestasi yang menunjukkan temperatur di bawah permukaan sekitar 260° C berdasarkan solubilitas silika (Nicholson, 1993), sehingga diperkirakan temperatur reservoir pada daerah panas bumi Songa - Wayaua <u>+</u> 240 -250° C.

3. Hasil Kajian Geologi dan Geokimia

3.1 Sumber panas

Berdasarkan hasil kajian geologi diperkirakan sumber erupsi tubuh vulkanik Lansa dan

vulkanik Pele merupakan sumber panas bagi sistem panas bumi di daerah penelitian, diperkirakan sumber panas dari sistem panas bumi Songa - Wayaua berada di antara Gunung Lansa ataupun Gunung Pele.

3.2 Daerah resapan

Berdasarkan hasil analisis citra ALOS PALSAR untuk kelurusan permukaan didapatkan bahwa sebelah baratlaut - barat (sekitar daerah Sibela) daerah penelitian merupakan daerah yang memiliki permeabilitas yang baik, ditunjukan dengan nilai LFD yang tinggi di daerah tersebut.

3.3 Daerah upflow dan outflow

Berdasarkan hasil analisis geokimia (Hg, pH, temperatur) didapatkan manifestasi - manifestasi yang berada disekitar Gunung Pele dan Gunung Lansa merupakan daerah upflow dari sistem panas bumi daerah penelitian. Hal ini ditunjukan dengan adanya anomali temperatur tinggi dan Hg disekitar manifestasi yang berada di antara Gunung Pele dan Gunung Lansa, serta distribusi pH sekitar daerah tersebut memiliki derajat keasaman (pH) berkisar 4.48 - 7.9 atau dapat dikatakan memiliki pH relatif Berdasarkan analisis diperkirakan daerah antara Gunung Pele dan Gunung Lansa merupakan zona upflow dari sistem panas bumi Songa - Wayaua.

Untuk daerah *outflow* diprediksi berada di sebelah selatan Wayaua yang ditunjukan dengan keluaran manifestasi air dingin dengan jenis air bikarbonat dan memiliki pH netral, serta keadaan topografi yang relatif lebih rendah dibandingkan daerah lain. Jalur fluida dari zona luahan ini diperkirakan merupakan Sesar Wayaua yang berada di tengah - selatan daerah penelitian.

3.4 Struktur

Dari hasil kajian geologi dan penginderaan jauh, didapatkan 10 struktur geologi yang berada di daerah penelitian. Tetapi hanya 5 struktur geologi yang diperkirakan mengontrol sistem panas bumi daerah penelitian, yaitu:

- Sesar Mendatar Menganan Pele diperkirakan merupakan jalur keluarnya fluida ke permukaan berupa manifestasi di pesisir utara Gunung Pele dan menyebabkan daerah penelitian terekahkan, sehingga memiliki porositas dan permeabilitas yang baik.
- Sesar Normal Songa 1 dan Sesar Normal Songa 2 diperkirakan merupakan jalur keluarnya manifestasi air hangat di pesisir utara Gunung Lansa dan menyebabkan daerah penelitian terekahkan, sehingga memiliki porositas dan permeabilitas yang baik.

- Sesar Mendatar Menganan Wayaua diperkirakan merupakan jalur keluarnya manifestasi air dingin di selatan Wayaua (daerah luahan) dan menyebabkan daerah penelitian terekahkan, sehingga memiliki porositas dan permeabilitas yang baik.
- Sesar Normal Lansa diperkirakan merupakan sesar yang menyebabkan daerah penelitian terekahkan, sehingga memiliki porositas dan permeabilitas yang baik.

3.5 Temperatur reservoir

Pada lapangan panas bumi Songa - Wayaua digunakan geotermometer Na (Giggenbach) yang menunjukan reservoir berkisar 240 - 245° C, hal ini dikarenakan suhu tersebut mendekati perkiraan suhu reservoir yang memiliki suhu sekitar 260° C dimana suhu tersebut didapatkan karena adanya endapan sinter silika disekitar manifestasi yang temperatur menunjukkan di bawah permukaan sekitar 260° C berdasarkan solubilitas silika (Nicholson, 1993), sehingga diperkirakan temperatur reservoir pada daerah panas bumi Songa - Wayaua <u>+</u> 240 -250° C.

KESIMPULAN

Setelah dilakukan kajian dan analisis didapatkan beberapa kesimpulan, antara lain:

- Daerah penelitian Songa Wayaua merupakan lapangan panas bumi dengan sistem vulkanik hidrotermal dan sistem panas bumi high terrain yang dikontrol oleh sesar lokal daerah penelitian.
- Sumber panas pada daerah panas bumi Songa - Wayaua diperkirakan berhubungan dengan pusat erupsi Gunung Pele dan Gunung Lansa, dimana sumber panas terletak di bawah Gunung Pele dan Gunung Lansa.
- Pada daerah penelitian didapatkan 10 struktur utama dimana 5 struktur utama yang mengontrol daerah penelitian, yaitu:
 - 1. Sesar Mendatar Menganan Pele
 - 2. Sesar Normal Songa 1
 - 3. Sesar Normal Songa 2
 - 4. Sesar Normal Lansa
 - 5. Sesar Mendatar Menganan Wayaua
- Berdasarkan hasil analisis geokimia (Hg, pH, dan temperatur) didapatkan bahwa manifestasi manifestasi yang berada disekitar Gunung Pele dan Gunung Lansa merupakan daerah *upflow* dari sistem panas bumi daerah penelitian.
- Untuk daerah outflow diprediksi berada di sebelah selatan Wayaua yang ditunjukan dengan keluaran manifestasi air dingin dengan jenis air bikarbonat dan memiliki pH netral, serta keadaan topografi yang

- relatif lebih rendah dibandingkan daerah lain. Jalur fluida dari zona luahan ini diperkirakan merupakan Sesar Wayaua yang berada di tengah selatan daerah penelitian.
- Pada lapangan panas bumi Songa -Wayaua berdasarkan geotermometer Na -K (Giggenbach) yang menunjukan suhu reservoir berkisar 240 - 245° C.

SARAN DAN PENGEMBANGAN

Perlu dilakukannya penelitian lanjut dengan menggunakan metode - metode di geofisika untuk mendapatkan model tentatif lapangan panas bumi Songa - Wayaua yang nantinya dapat dilakukan penentuan geometri/luas dari lapisan prospek reservoir, sehingga dapat mengetahui besaran prospek cadangannya dan untuk mengetahui daerah target prospek pemboran.

UCAPAN TERIMA KASIH

Penulis mengucapkan terima kasih kepada LPPM UPN Veteran Yogyakarta dalam membantu pendanaan penelitian ini.

DAFTAR PUSTAKA

- Apandi T. dan Sudana D. (1980). *Geologi Lembar Ternate, Maluku Utara Skala*1:250.000, Pusat Penelitian dan
 Pengembangan Geologi, Bandung.
- Bakrun, Situmorang, T., Bangbang, S., Sundhoro, H., Idral, A., Liliek, H. (2006). Penyelidikan Terpadu Daerah Panas Bumi Songa Wayaua, Kabupaten Halmahera Selatan, Maluku Utara. Prosiding, Pemaparan Hasil Kegiatan Lapangan dan Non Lapangan. Pusat Sumber Daya Geologi, Indonesia 2006.
- Blundell, D, J., Neubauer, F., Quadt, A. (2002). *The Timing and Location of Major Ore Deposits in an Evolving Orogen*. First Edition, The Geological Society, London.
- Campbell, J, B. (1996). *Introduction to Remote Sensing*. Second Edition, Guilford Press.
- Curran, P, J. (1985). *Principles of Remote Sensing*. Volume 6, London: Longman, 1985, Pp. 260.
- Hall, R. (2000). Neogene History of Collision in The Halmahera Region Indonesia.
 Proceedings, 27th Annual Convention & Exhibition Indonesia Petroleum Association, Indonesia, October 2000.
- Hall, R., Wilson, M.E.J. (2000). *Neogene Sutures in Eastern Indonesia*. Journal of Asian Earth Sciences, 18, 781-808. 2000.
- Hamilton, W. (1979). *Tectonics of The Indonesian Region*. Proceedings, USGS Professional Paper, 1078. U.S. Govt. Print. Off, 1979.
- Hartono. (2010). Penginderaan Jauh dan Sistem Informasi Geografi Serta

- Aplikasinya di Bidang Pendidikan dan Pembangunan. Seminar Nasional-PJ dan SIG I Tahun 2010.
- Nicholson, K. (1993). *Geothermal Fluids*. First Edition, Springer Verlag.
- Sillitoe, R, H., Hedenquist, J, W. (2003). Linkages between Volcanotectonic Settings, Ore-Fluid Compositions, and Epithermal Precious Metal Deposits. Special Publication, Society of Economic Geologists, Galley proofs. p. 315-343.
- Sumintadireja, P., dkk. (2012). Peningkatan Kualitas/Kuantitas dan Validasi Data Dalam Rangka Penentuan Lokasi Sumur Eksplorasi di Lapangan Songa Wayaua Maluku Utara. Tidak Dipublikasikan.
- Poernomo, A., Satar, S., Effendi, P., Kusuma, A., Azimudin, T., Sudarwo. (2015). *An Overview of Indonesia Geothermal Development Current Status and Its Challenges.* Proceedings, World Geothermal Congress 2015. Melbourne, Australia, 19 25 April 2015.
- Rohmana., Suhandi., Susanto, H., R. Hutamadi. (2011). Penelitian Optimalisasi Pemanfaatan Bahan Galian Daerah Halmahera Selatan, Provinsi Maluku Utara. Prosiding, Hasil Kegiatan Pusat Sumber Daya Geologi, Indonesia 2011.
- Saepuloh A., Urai M., Suryantini, Sumintadireja P., Meilano I, Harsolumakso A.H., Suparka E. (2014). Extracting linear features density of SAR data to detect the paths of a geothermal system. Indonesia Geology Magazine, 29 (2), pp. 6369, August 2014.
- Saepuloh A., Urai M., Sumintadireja P., Suryantini. (2010). Spatial Priority Assessment of Geothermal Potentials Using Multi Sensor Remote Sensing Data and Applications. Proceeding of the 1st ITB Geothermal Workshop 2012, Bandung, Indonesia, March, 2012.
- Supriatna, S. (1980). *Geologi Lembar Morotai, Maluku Utara Skala 1:250.000*, Pusat Penelitian dan Pengembangan Geologi, Bandung.
- Wohletz, K., Heiken, G. (1992). Volcanology and Geothermal Energy. First Edition, University of California Press, Barkeley, United States of America.